

# **Vollständige Klassifikation der Quanten-Transfermatrix-Eigenzustände von endlichen Gittersystemen mit $SU(n,m)$ -Symmetrie**

Jens Damerou

`jens.damerou@uni-dortmund.de`

Universität Dortmund und Bergische Universität Wuppertal



# Übersicht

---

## 1. Grundlagen

- Integrierte Modelle
- Yang-Baxter-Algebra und Bethe-Ansatz
- Symmetriegruppe  $SU(n,m)$

## 2. Uimin-Sutherland-Modell

- Quanten-Transfermatrix-Zugang
- Bethe-Ansatzgleichungen

## 3. Numerische Lösung der Bethe-Ansatzgleichungen

- Newton-Verfahren
- Diagonalisierung der Quanten-Transfermatrix
- Bestimmung von Bethe-Ansatz-Zahlen zu bekannten Eigenzuständen

## 4. Ergebnisse

- Klassifikation der Eigenwerte und -zustände
- Thermodynamik bei endlicher Temperatur

# Integrable Modelle

- Eindimensionale quantenmechanische Modelle  $\rightarrow$  Spinketten
- Integrabilität verknüpft mit Algebra; hier: Yang-Baxter-Algebra
- Kann quantenmechanische Modelle der Dimension  $d$  abbilden auf klassische Gittermodelle der Dimension  $d + 1$  (Suzuki 76)

- Zweidimensionale Vertex-Modelle:

$(N \times M)$ -Gitter mit Vertex-Gewichten  $R_{\alpha\beta}^{\mu\nu}(v) =$  

- Monodromiematrix  $\mathcal{L}_{\nu}^{\nu'}(v) := \sum_{\{\mu\}} R_{\alpha_1\beta_1}^{\nu\mu_2} R_{\alpha_2\beta_2}^{\mu_2\mu_3} \cdots R_{\alpha_N\beta_N}^{\mu_N\nu'}$

- Transfermatrix  $\mathcal{T}(v) := \text{Tr}_{\text{aux}} \mathcal{L}(v) = \sum_{\nu} \mathcal{L}_{\nu}^{\nu}(v)$

- Zustandssumme:

$$Z = \text{Tr} \mathcal{T}^M(v)$$

# Yang-Baxter-Algebra

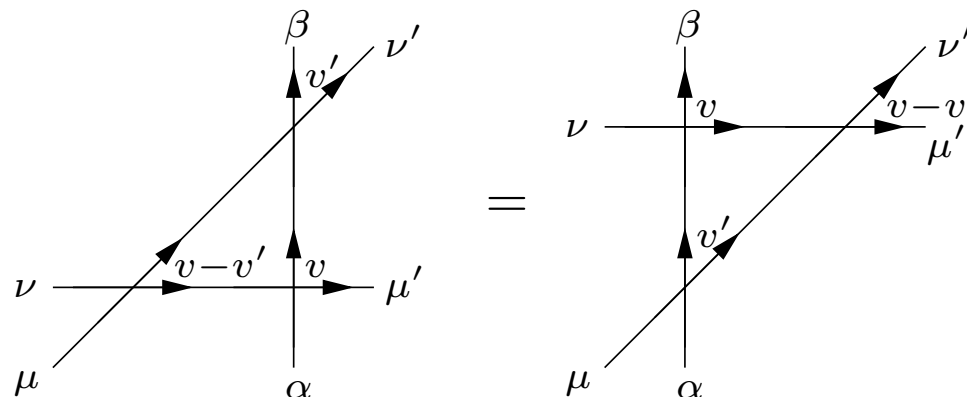
- Definition über die Monodromiematrix:

$$\sum_{\rho, \sigma} \mathcal{L}_{\rho}^{\nu'}(v') \mathcal{L}_{\sigma}^{\mu'}(v) R_{\mu\rho}^{\nu\sigma}(v - v') = \sum_{\rho, \sigma} R_{\rho\nu'}^{\sigma\mu'}(v - v') \mathcal{L}_{\nu}^{\sigma}(v) \mathcal{L}_{\mu}^{\rho}(v')$$

- Garantiert Vertauschungsrelation  $[\mathcal{T}(v), \mathcal{T}(v')] = 0$

- $R$ -Matrizen müssen Yang-Baxter-Gleichung erfüllen:

$$\sum_{\rho, \sigma} R_{\tau\beta}^{\rho\nu'}(v') R_{\alpha\tau}^{\sigma\mu'}(v) R_{\mu\rho}^{\nu\sigma}(v - v') = \sum_{\rho, \sigma} R_{\rho\nu'}^{\sigma\mu'}(v - v') R_{\tau\beta}^{\nu\sigma}(v) R_{\alpha\tau}^{\mu\rho}(v')$$



# Algebraischer Bethe-Ansatz

Ziel: Diagonalisierung der Transfer-Matrix  $\mathcal{T}(v)$

- Voraussetzung ist bekannter Referenzeigenzustand
- Nebendiagonaleinträge der Monodromiematrix  $\mathcal{L}_1^2(v)$ ,  $\mathcal{L}_2^1(v)$  als Erzeuger bzw. Vernichter (bei  $q = 2$ );  
 $q > 2$ : „geschachtelter“ BA (Yang 67)
- „Unwanted terms“ verschwinden dabei, falls nichtlineares Gleichungssystem, sog. *Bethe-Ansatzgleichungen*, gelöst
- Geschlossene Darstellung der Eigenzustände und Eigenwerte mit Hilfe von Bethe-Ansatzzahlen möglich

# Symmetriegruppe $SU(n,m)$

## Zunächst $SU(n)$ :

- Unitäre  $(n \times n)$ -Matrizen  $A$  mit  $\det A = 1$
- Generatoren der Algebra: hermitesche Matrizen  $a$  mit  $\text{Tr } a = 0$
- Dimension der Algebra  $d = n^2 - 1$

## Erweiterung $SU(n,m)$ :

- Generatoren der Algebra: hermitesche Matrizen  $a$  mit  $\text{sTr } a = 0$
- Gradierter Vektorraum  $V = V_0 \oplus V_1$  („gerade“ & „ungerade“)  
 $\text{sTr } A := \sum_{\alpha} (-1)^{p(\alpha)} A_{\alpha}^{\alpha}; \quad [X, Y]_{\pm} := XY - (-1)^{p(X)p(Y)} YX$
- Ermöglicht Behandlung von fermionischen und bosonischen Zuständen
- Graduierte YB-Algebra kann auf nichtgrad. Fall zurückgeführt werden

# Uimin-Sutherland-Modell

- Generalisiertes Modell mit  $SU(n,m)$ -Symmetrie:

$$\mathcal{H}_0 = \sum_{i=1}^L \pi_{i,i+1}; \quad \mathcal{H} = \mathcal{H}_0 - \sum_{i=1}^L \sum_{\alpha=1}^q \mu_{\alpha} n_{i,\alpha}$$

$$\pi_{i,i+1} |\alpha_1 \dots \alpha_i \alpha_{i+1} \dots \alpha_L\rangle = (-1)^{\xi_{\alpha_i \alpha_{i+1}}} |\alpha_1 \dots \alpha_{i+1} \alpha_i \dots \alpha_L\rangle$$

$$\xi_{\alpha\beta} := p(\alpha)p(\beta); \quad \epsilon_{\alpha} := (-1)^{p(\alpha)}$$

- Verknüpft mit 2-D klassischem Modell, *Perk-Schultz-Modell*:

$$R_{\alpha\beta}^{\mu\nu}(v) := \delta_{\alpha\nu} \delta_{\mu\beta} + v \cdot (-1)^{\xi_{\alpha\mu}} \cdot \delta_{\alpha\beta} \delta_{\mu\nu}$$

$$\mathcal{H}_0 = \left. \frac{d}{dv} \ln \mathcal{T}(v) \right|_{v=0} \quad \text{mit } \mathcal{T}_{\alpha}^{\beta}(v) := \sum_{\{\mu\}} \prod_{i=1}^L R_{\alpha_i \beta_i}^{\mu_i \mu_{i+1}}(v)$$

$$[\mathcal{T}(v), \mathcal{H}_0] = 0 \quad \text{für alle } v \in \mathbb{C}, \text{ aus Yang-Baxter-Gleichung}$$

# Uimin-Sutherland-Modell

SU(3)-symmetrisches Modell: ( $q = 3$ ;  $\epsilon_1 = \epsilon_2 = \epsilon_3 = +1$ )

- SU(2)-symmetrische Spin-1-Kette
- Hamiltonoperator  $\mathcal{H}_0 = \sum_{j=1}^L \{ \mathbf{S}_j \mathbf{S}_{j+1} + (\mathbf{S}_j \mathbf{S}_{j+1})^2 \}$

SU(2)  $\times$  SU(2)-Spin-Orbital-Modell: ( $q = 4$ ;  $\epsilon_1 = \epsilon_2 = \epsilon_3 = \epsilon_4 = +1$ )

- Kugel & Khomskii 82
- Hamiltonoperator  $\mathcal{H}_0 = \sum_{j=1}^L (2\mathbf{S}_j \mathbf{S}_{j+1} + \frac{1}{2}) (2\boldsymbol{\tau}_j \boldsymbol{\tau}_{j+1} + \frac{1}{2})$

Supersymmetrisches t-J-Modell: ( $q = 3$ ;  $\epsilon_1 = -\epsilon_2 = \epsilon_3 = +1$ )

- Hüpfen von Elektronen auf Gitter, keine Doppelbesetzung, supersymm.  $2t = J$
- Ham.op.  $\mathcal{H}_0 = -t \sum_{j,\sigma} \mathcal{P}(c_{j,\sigma}^\dagger c_{j+1,\sigma} + c_{j+1,\sigma}^\dagger c_{j,\sigma}) \mathcal{P} + J \sum_j (\mathbf{S}_j \mathbf{S}_{j+1} - n_j n_{j+1}/4)$

Supersymm. erweitertes Hubbard-Modell: ( $q = 4$ ;  $\epsilon_1 = -\epsilon_2 = -\epsilon_3 = \epsilon_4 = +1$ )

- Essler, Korepin & Schoutens 92
- Eigenschaften von t-J- und Hubbard-Modell, Doppelbesetzung möglich



# Quanten-Transfermatrix-Zugang

Ziel: Berechnung der Zustandssumme  $Z = \text{Tr} e^{-\beta \mathcal{H}_0}$

- Zusätzlich Transfermatrix aus gedrehten Vertex-Gewichten:

$$\bar{R}_{\alpha\beta}^{\mu\nu}(v) := R_{\nu\mu}^{\alpha\beta}(v) = \begin{array}{c} \beta \\ \uparrow \\ v \\ \leftarrow \mu \quad | \quad \nu \\ \downarrow \\ \alpha \end{array}; \quad \bar{\mathcal{T}}_{\alpha}^{\beta}(v) := \sum_{\{\mu\}} \prod_{i=1}^L \bar{R}_{\alpha_i\beta_i}^{\mu_i\mu_{i+1}}(v)$$

- Wiederum gilt:  $\mathcal{H}_0 = \left. \frac{d}{dv} \ln \bar{\mathcal{T}}(v) \right|_{v=0}$

- Entwickeln um  $v = 0$ :

$$\ln \mathcal{T}(v) = \ln \mathcal{T}(0) + \mathcal{H}_0 \cdot v + \mathcal{O}(v^2)$$

$$\ln \bar{\mathcal{T}}(v) = \ln \bar{\mathcal{T}}(0) + \mathcal{H}_0 \cdot v + \mathcal{O}(v^2)$$

$$\Rightarrow \mathcal{T}(v)\bar{\mathcal{T}}(v) = \underbrace{\mathcal{T}(0)\bar{\mathcal{T}}(0)}_{\text{Shiftoperatoren}} e^{2v\mathcal{H}_0 + \mathcal{O}(v^2)} = e^{2v\mathcal{H}_0 + \mathcal{O}(v^2)}$$

# Quanten-Transfermatrix-Zugang

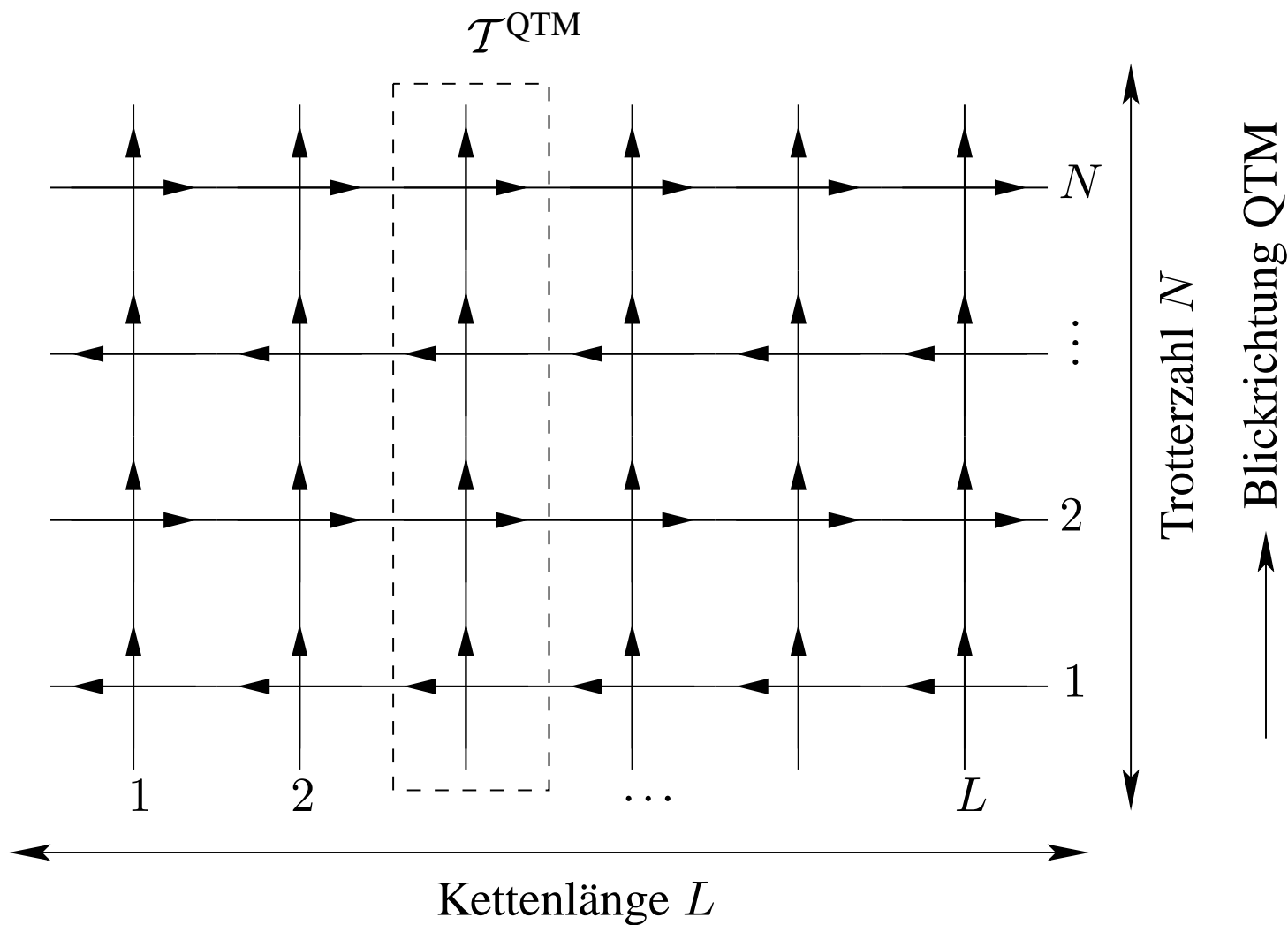
- Auswertung an  $u = -\beta/N$  und Spurbildung:

$$\begin{aligned}\lim_{N \rightarrow \infty} \text{Tr} \left( \mathcal{T}(u) \overline{\mathcal{T}}(u) \right)^{N/2} &= \lim_{N \rightarrow \infty} \text{Tr} \left( e^{-\frac{2\beta}{N} \mathcal{H}_0 + \mathcal{O}((\beta/N)^2)} \right)^{N/2} \\ &= \text{Tr} e^{-\beta \mathcal{H}_0} = Z\end{aligned}$$

- $N$  ist Trotterzahl ( $N \gg 1$  aber endlich bei numerischen Rechnungen)
- Zustandssumme des Uimin-Sutherland-Modelles entspricht derjenigen eines „gestapelten“ Perk-Schultz-Gitters ( $L \times N$ ):

$$Z = \text{Tr} e^{-\beta \mathcal{H}_0} = \lim_{N \rightarrow \infty} Z_{L,N}; \quad Z_{L,N} := \text{Tr} \left( \mathcal{T}(u) \overline{\mathcal{T}}(u) \right)^{N/2}$$

# Quanten-Transfermatrix-Zugang



# Quanten-Transfermatrix-Zugang

Neue Transferrichtung: *Quanten-Transfermatrix (QTM)*

$$(\mathcal{T}^{\text{QTM}})_{\alpha}^{\beta}(v) := \sum_{\{\mu\}} \prod_{j=1}^{N/2} R_{\alpha_{2j-1}\beta_{2j-1}}^{\mu_{2j-1}\mu_{2j}}(iv+u) \tilde{R}_{\alpha_{2j}\beta_{2j}}^{\mu_{2j}\mu_{2j+1}}(iv-u)$$

- Vertexgewichte  $\tilde{R}_{\alpha\beta}^{\mu\nu}(v) := R_{\mu\nu}^{\beta\alpha}(-v) = \begin{array}{c} \beta \\ | \\ \mu \text{---} \text{---} \nu \\ | \\ \alpha \end{array}$
- Neuer Spektralparameter  $v$ :  
 $\Rightarrow$  Kommutierende Familie:  $[\mathcal{T}^{\text{QTM}}(v), \mathcal{T}^{\text{QTM}}(v')] = 0$  für  $v, v' \in \mathbb{C}$
- Berechnung der Zustandssumme wie bei klassischem Gitter:

$$Z_{L,N} = \text{Tr} (\mathcal{T}(u) \overline{\mathcal{T}}(u))^{N/2} = \text{Tr} (\mathcal{T}^{\text{QTM}}(0))^{L/2}$$

- QTM bei  $v = 0$  reell, jedoch nicht symmetrisch
- Yang-Baxter-Algebra und  $SU(n,m)$ -Symmetrie

# Quanten-Transfermatrix-Zugang

- Thermodynamik allein bestimmt durch den größten Eigenwert der QTM:

$$\begin{aligned} f &= - \lim_{L \rightarrow \infty} \frac{1}{L\beta} \ln Z = - \lim_{L \rightarrow \infty} \lim_{N \rightarrow \infty} \frac{1}{L\beta} \ln \text{Tr} \left( \mathcal{T}^{\text{QTM}}(0) \right)^L \\ &= - \frac{1}{\beta} \lim_{N \rightarrow \infty} \ln \Lambda_{\max}(0) \end{aligned}$$

- Fehler durch endliche Trotterzahl  $N$ :  $f_N \simeq f + \mathcal{O}(\beta/N)$
- Nächstführende Eigenwerte liefern Korrelationslängen:  $(L \rightarrow \infty)$

$$\langle \sigma_1 \sigma_{1+r} \rangle = \lim_{N \rightarrow \infty} \left[ |\langle \Psi_0 | \sigma | \Psi_0 \rangle|^2 + \sum_{i=1}^{q^N - 1} |\langle \Psi_0 | \sigma | \Psi_i \rangle|^2 \cdot e^{-r/\xi_i} \right]$$

$$\xi_i := \left[ \ln \left( \frac{\Lambda_{\max}(0)}{\Lambda_i(0)} \right) \right]^{-1}$$

# Bethe-Ansatz für QTM

- Darstellung der Eigenwerte:  $\Lambda(v) = \sum_{j=1}^q \lambda_j(v)$

$$\lambda_1(v) = \frac{q_1(v + i\epsilon_1)}{q_1(v)} \phi_+(v) \phi_-(v - i\epsilon_1) e^{\beta\mu_1}$$

$$\lambda_j(v) = \frac{q_{j-1}(v - i\epsilon_j)}{q_{j-1}(v)} \frac{q_j(v + i\epsilon_j)}{q_j(v)} \phi_+(v) \phi_-(v) e^{\beta\mu_j} \quad \text{für } 2 \leq j \leq q - 1$$

$$\lambda_q(v) = \frac{q_{q-1}(v - i\epsilon_q)}{q_{q-1}(v)} \phi_+(v + i\epsilon_q) \phi_-(v) e^{\beta\mu_q}$$

$$\text{mit } q_j(v) := \prod_{k_j=1}^{M_j} (v - v_{k_j}^j); \quad \phi_{\pm}(v) := (v \pm iu)^{N/2}$$

- Unbekannte Bethe-Ansatzzahlen  $v_{k_j}^j$  (mit  $1 \leq j \leq q - 1; 1 \leq k_j \leq M_j$ )
- Bedingung: Eigenwert hängt analytisch von  $v$  ab! (tatsächlich Polynom)

# Bethe-Ansatz für QTM

- Polstellen verschwinden, wenn *Bethe-Ansatz-Gleichungen* erfüllt:

$$\frac{\lambda_j(v_{k_j}^j)}{\lambda_{j+1}(v_{k_j}^j)} = -1 \quad \text{für } 1 \leq j \leq q-1; 1 \leq k_j \leq M_j$$

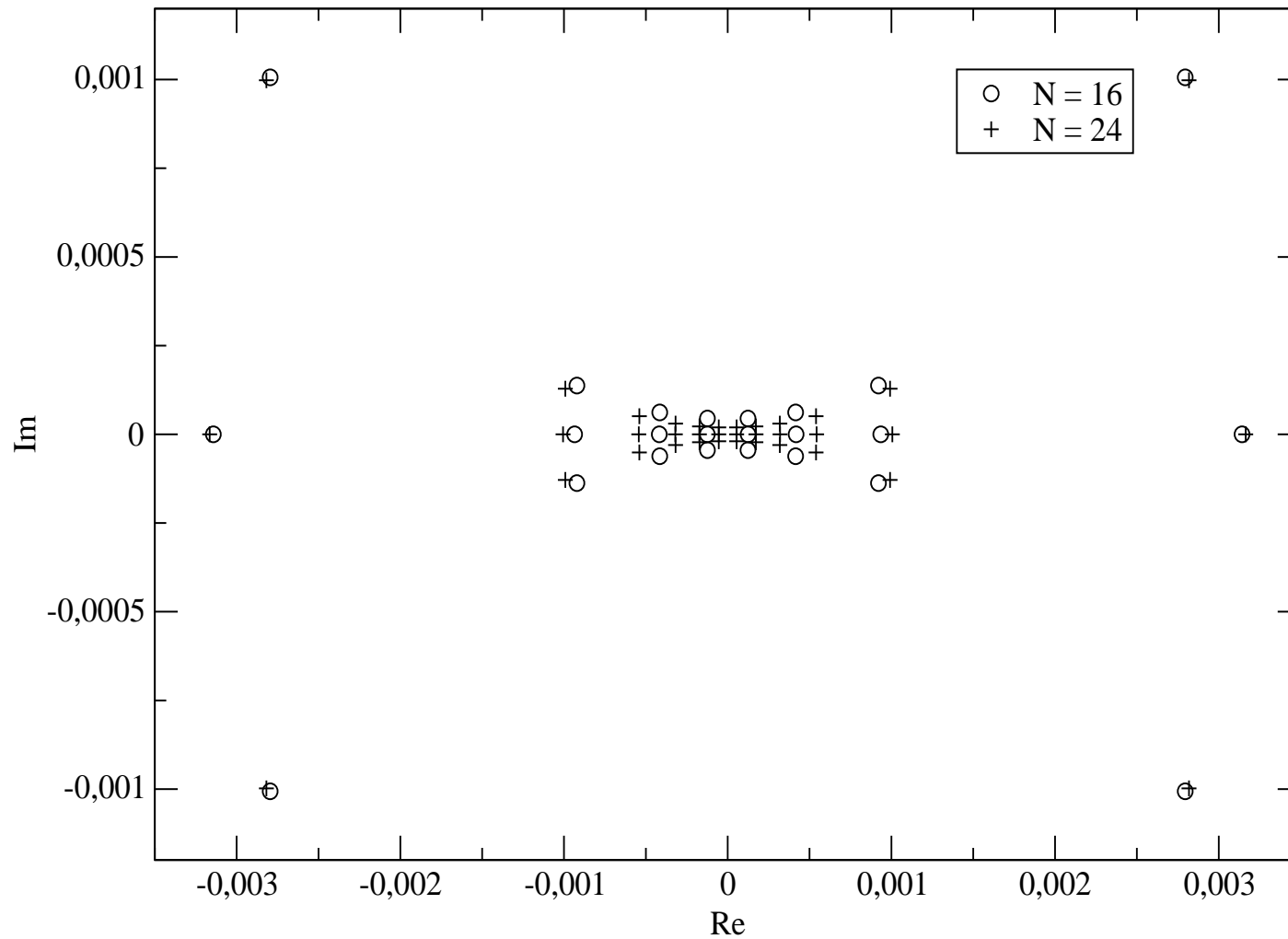
- Nichtlineares Gleichungssystem mit  $M_{\text{ges}} = M_1 + \dots + M_{q-1}$  Gleichungen und unbekanntem Ansatzzahlen  $v_{k_j}^j$ :

$$\frac{\phi_-(v_{k_1}^1 - i\epsilon_1)}{\phi_-(v_{k_1}^1)} \frac{q_1(v_{k_1}^1 + i\epsilon_1)}{q_1(v_{k_1}^1 - i\epsilon_2)} \frac{q_2(v_{k_1}^1)}{q_2(v_{k_1}^1 + i\epsilon_2)} = -e^{\beta(\mu_2 - \mu_1)}$$

$$\frac{q_{j-1}(v_{k_j}^j - i\epsilon_j)}{q_{j-1}(v_{k_j}^j)} \frac{q_j(v_{k_j}^j + i\epsilon_j)}{q_j(v_{k_j}^j - i\epsilon_{j+1})} \frac{q_{j+1}(v_{k_j}^j)}{q_{j+1}(v_{k_j}^j + i\epsilon_{j+1})} = -e^{\beta(\mu_{j+1} - \mu_j)}$$

$$\frac{q_{q-2}(v_{k_{q-1}}^{q-1} - i\epsilon_{q-1})}{q_{q-2}(v_{k_{q-1}}^{q-1})} \frac{q_{q-1}(v_{k_{q-1}}^{q-1} + i\epsilon_{q-1})}{q_{q-1}(v_{k_{q-1}}^{q-1} - i\epsilon_q)} \frac{\phi_+(v_{k_{q-1}}^{q-1})}{\phi_+(v_{k_{q-1}}^{q-1} + i\epsilon_q)} = -e^{\beta(\mu_q - \mu_{q-1})}$$

# BA-Zahlen für $q = 4, \beta = 0.01, \epsilon_j = +1$





# Lösung der BA-Gleichungen

Lösung der Gleichungen mit Hilfe des *Newton-Verfahrens*:

- Bringe Gleichungssystem auf Form  $\mathbf{F}(\mathbf{x}^*) = 0$
- Wähle geeignete Startwertverteilung  $\mathbf{x}_0$
- Iterationsschritte  $\mathbf{x}_{n+1} = \mathbf{x}_n - \mathbf{F}'(\mathbf{x}_n)^{-1} \mathbf{F}(\mathbf{x}_n)$

Auftretende Probleme:

- Relevante Lösungen? Welche Startwerte sind geeignet?
- Wie viele Ansatzzahlen werden benötigt? ( $M_1, \dots, M_{q-1}$ )
- Konvergenz des Verfahrens? (Problematisch wegen Häufungspunkt!)

Es zeigt sich:

- Lösung für den größten EW (Thermodyn.) möglich bis ca.  $N \lesssim 10000$
- Nächstführende Eigenwerte numerisch problematischer (nur  $N \lesssim 200$ )

# Diagonalisierung der QTM

- Liefert komplettes Eigenwertspektrum und Eigenzustände
- Aber: Nur durchführbar für kleine Trotterzahl  $N$ , da  $\mathcal{T}^{\text{QTM}}(v)$  von der Dimension  $q^N \times q^N$  ist (bei  $q = 4$  und  $N = 10$  bereits  $\sim 10^{12}$  Einträge)

Glücklicherweise ist Vereinfachung möglich:

- Viele Matrixeinträge verschwinden wegen Symmetrie
- Einfach auszunutzen ist zudem „erweiterte“ Gesamtspinerhaltung,  $\mathcal{T}^{\text{QTM}}(v)$  vertauscht mit Operator

$$\sigma = \sum_{\alpha=1}^q \sigma(\alpha) \sum_{j=1}^{N/2} (n_{2j-1,\alpha} - n_{2j,\alpha})$$

- Fast alle interessanten Eigenwerte besitzen Eigenzustände mit  $\sigma|\Psi\rangle = 0$
- Diagon. durchführbar für  $q = 3$  bis  $N = 12$  und für  $q = 4$  bis  $N = 10$

# Bestimmung von $\Lambda(v)$

Eigenwerte  $\Lambda(v)$  in Abhängigkeit des Spektralparameters stets Polynome vom Grad  $N$ :

$$\Lambda(v) = \sum_{j=0}^N \Lambda_j v^j$$

Ziel: Bestimmung der Koeffizienten  $\Lambda_j$

⇒ Mindestens  $N + 1$  Stützpunkte zu verschiedenen  $v$  nötig

- Diagonalisierung der QTM nur bei *einem* festen  $v$  durchführen, da alle  $\mathcal{T}^{\text{QTM}}(v)$  vertauschen ⇒ Eigenzustände  $|\Psi_i\rangle$  unabhängig von  $v$
- Restliche Eigenwerte erhält man aus Multiplikation der QTMs zu anderen Spektralparametern mit jeweils bekanntem Eigenvektor  $|\Psi_i\rangle$
- Kenntnis von  $\Lambda(v)$  kann genutzt werden, um zu jedem Eigenwert zugehörige Bethe-Ansatzzahlverteilung eindeutig zu bestimmen

# Bethe-Ansatzzahlen für $q = 3$

Speziell für  $q = 3$ :

$$\begin{aligned}\Lambda(v) = & \frac{q_1(v + i\epsilon_1)}{q_1(v)} \phi_+(v) \phi_-(v - i\epsilon_1) e^{\beta\mu_1} \\ & + \frac{q_1(v - i\epsilon_2)}{q_1(v)} \frac{q_2(v + i\epsilon_2)}{q_2(v)} \phi_+(v) \phi_-(v) e^{\beta\mu_2} \\ & + \frac{q_2(v - i\epsilon_3)}{q_2(v)} \phi_+(v + i\epsilon_3) \phi_-(v) e^{\beta\mu_3}\end{aligned}$$

• Problem:

Berechnung der Polynome  $q_{1,2}(v)$  bei Kenntnis von  $\Lambda(v)$

(Multiplikation beider Seiten mit  $q_1(v)q_2(v)$  führt auf nichtlineares Gleichungssystem)

# Bethe-Ansatzzahlen für $q = 3$

Ausweg:

- Nur mit  $q_1(v)$  multiplizieren
- Analytizität der rechten Seite trotzdem sichergestellt

$$\begin{aligned} q_1(v)\Lambda(v) - q_1(v + i\epsilon_1)\phi_+(v)\phi_-(v - i\epsilon_1)e^{\beta\mu_1} \\ = \phi_-(v) \times \{\text{Polynom in } v\} =: f_1(v) \end{aligned}$$

⇒ Linke Seite besitzt Nullstelle vom Grad  $N/2$  bei  $v_0 = iu$

⇒ Taylorentwicklung um  $v_0$  liefert keinen Beitrag bis Grad  $N/2 - 1$

$$f_1(v_0) = 0; \quad \frac{\partial^k f_1}{\partial v^k}(v_0) = 0 \quad \text{für } k = 1, \dots, N/2 - 1$$

## Bethe-Ansatzzahlen für $q = 3$

• Schreibe  $q_1(v)$  als Potenzreihe:  $q_1(v) = \sum_{j=0}^{M_1} a_j v^j$ , ( $a_{M_1} := 1$ )

$$\Rightarrow f_1(v) = \sum_{j=0}^{M_1} a_j \underbrace{(v^j \Lambda(v) - (v + i\epsilon_1)^j \phi_+(v) \phi_-(v - i\epsilon_1) e^{\beta\mu_1})}_{=: g_{a_j}}$$

$$\sum_{j=0}^{M_1} a_j g_{a_j}(v_0) = 0; \quad \sum_{j=0}^{M_1} a_j \frac{\partial^k g_{a_j}}{\partial v^k}(v_0) = 0 \quad \text{für } k = 1, \dots, N/2 - 1$$

- Lineares Gleichungssystem mit  $N/2$  Gleichungen für unbekannte Koeffizienten  $a_j$  mit  $j = 0, \dots, M_1 - 1$ ; ( $g_{a_j}(v)$  bekannt)
- Lösbarkeit auch für  $M_1 < N/2$  sichergestellt
- Polynom  $q_1(v)$  kann eindeutig bestimmt werden
- Nullstellen von  $q_1(v)$  sind gesuchte Bethe-Ansatzzahlen  $v_{k_1}^1$

## Bethe-Ansatzzahlen für $q = 3$

- Analoge Rechnung für  $q_2(v)$  möglich, mit Hilfe von:

$$\begin{aligned} q_2(v)\Lambda(v) - q_2(v - i\epsilon_3)\phi_+(v + i\epsilon_3)\phi_-(v)e^{\beta\mu_3} \\ = \phi_+(v) \times \{\text{Polynom in } v\} =: f_2(v) \end{aligned}$$

- Generalisierung für Modelle mit  $q > 3$  ebenfalls durchführbar;  
Berechnung von  $q_2(v)$  dann bei Kenntnis von  $q_1(v)$ , bzw. Berechnung von  $q_j(v)$  bei Kenntnis von  $q_{j-1}(v)$  und  $q_{j-2}(v)$ :

$$\begin{aligned} q_2(v)q_1(v + i\epsilon_1)\phi_-(v - i\epsilon_1)e^{\beta\mu_1} + q_2(v + i\epsilon_2)q_1(v - i\epsilon_2)\phi_-(v)e^{\beta\mu_2} \\ = q_1(v) \times \{\text{Polynom in } v\} =: f_2(v) \end{aligned}$$

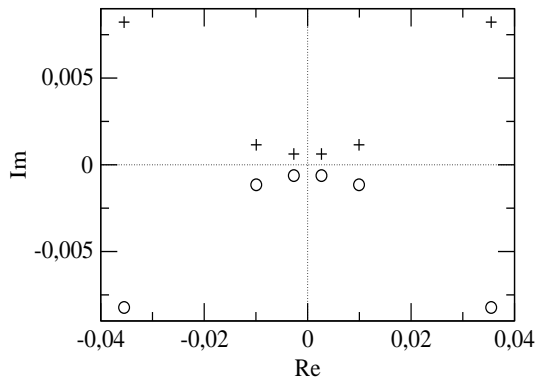
$$\begin{aligned} q_j(v)q_{j-1}(v + i\epsilon_{j-1})q_{j-2}(v - i\epsilon_{j-1})e^{\beta\mu_{j-1}} \\ + q_j(v + i\epsilon_j)q_{j-1}(v - i\epsilon_j)q_{j-2}(v)e^{\beta\mu_j} \\ = q_{j-1}(v) \times \{\text{Polynom in } v\} =: f_j(v) \end{aligned}$$

# Klassifikation der Eigenwerte & -zustände

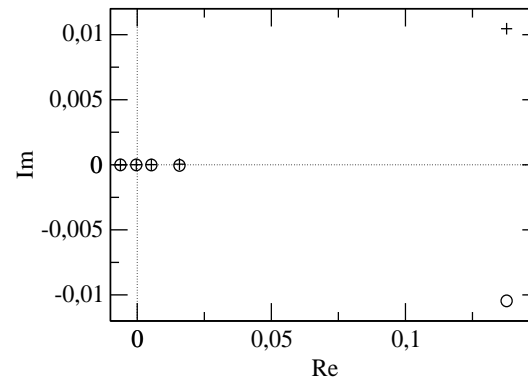
## Beispiel SU(3)-Modell:

(\* Weitere Lösung: Spiegelung an imag. Achse)

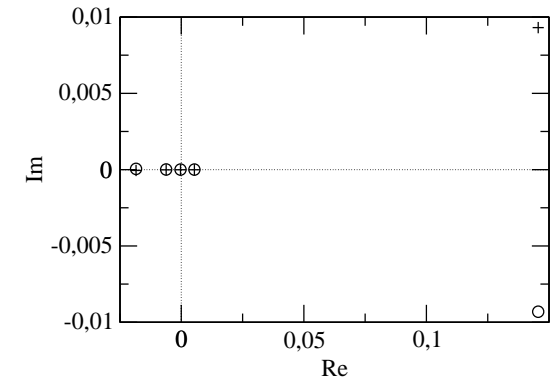
a)  $\Lambda = 2.899548494$  [1]



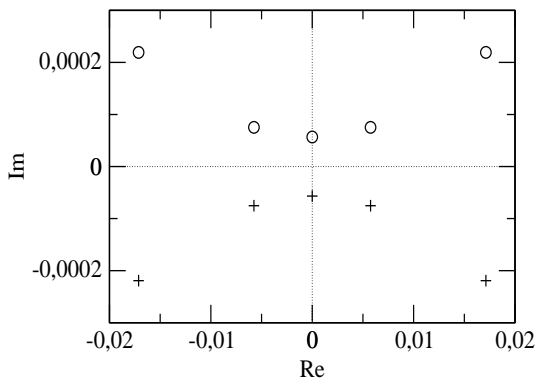
c)  $\Lambda = 0.016032988$  [8]\*



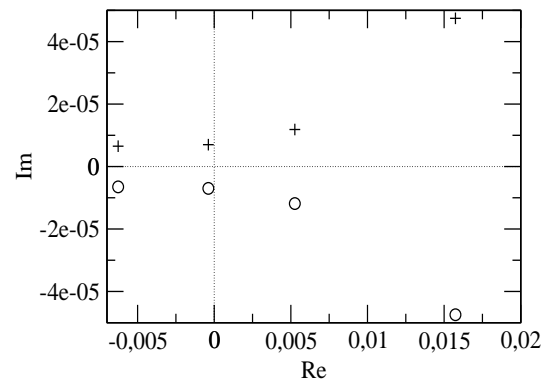
d)  $\Lambda = -0.012871361$  [8]\*



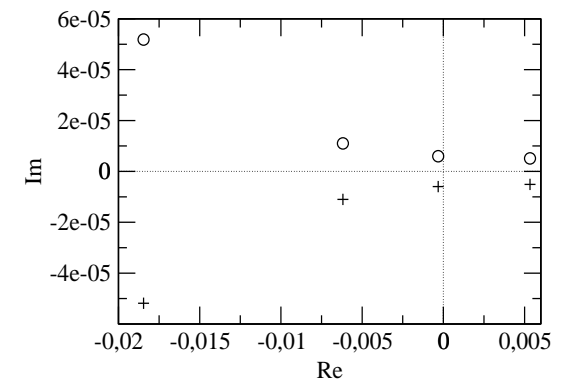
b)  $\Lambda = -0.112736496$  [8]



c') Teilvergrößerung von c)



d') Teilvergrößerung von d)



( $N = 12$ ;  $u = -0.01$ )

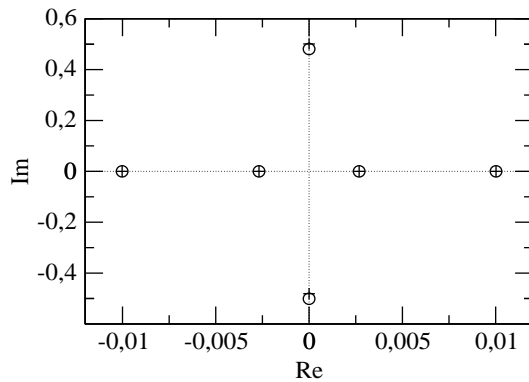


# Klassifikation der Eigenwerte & -zustände

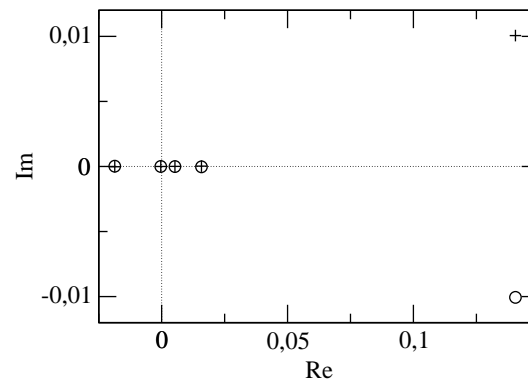
## Beispiel SU(3)-Modell:

(\* Weitere Lösung: Spiegelung an imag. Achse)

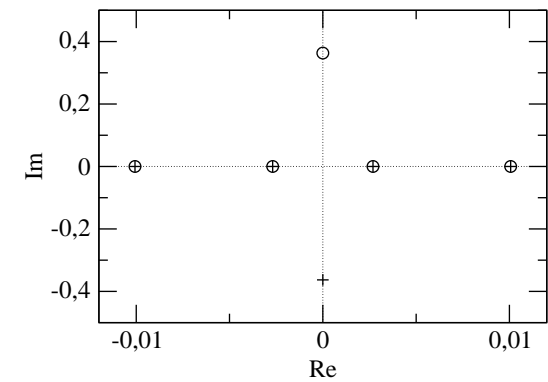
g)  $\Lambda = -0.008420021$  [1]



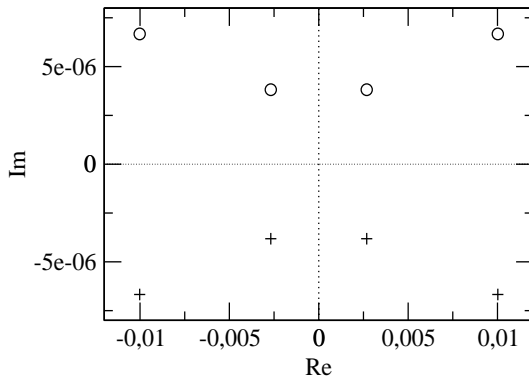
h)  $\Lambda = 0.005228863$  [8]\*



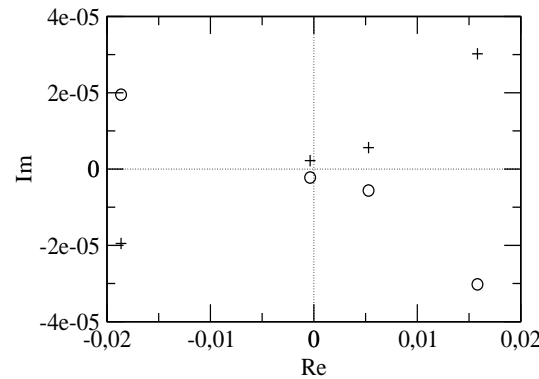
i)  $\Lambda = -0.004478022$  [8]



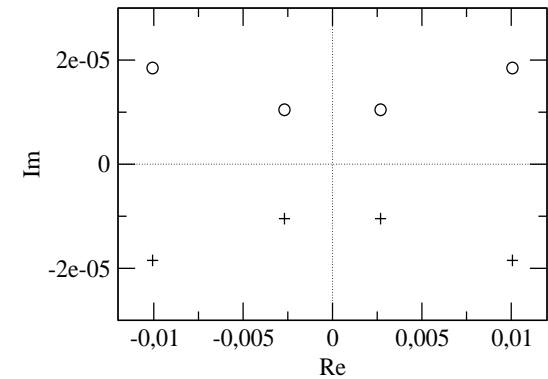
g') Teilvergrößerung von g)



h') Teilvergrößerung von h)



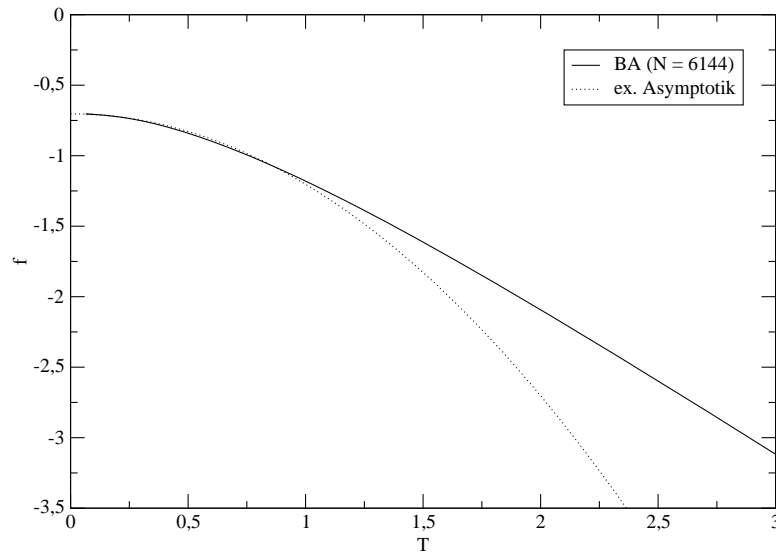
i') Teilvergrößerung von i)



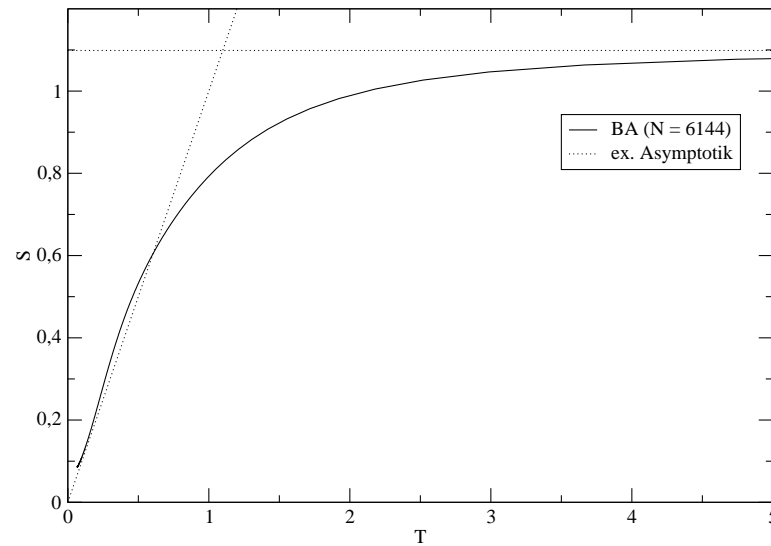
( $N = 12; u = -0.01$ )

# Thermodynamik

## SU(3)-Modell:



Freie Energie  $f$



Entropie  $S$

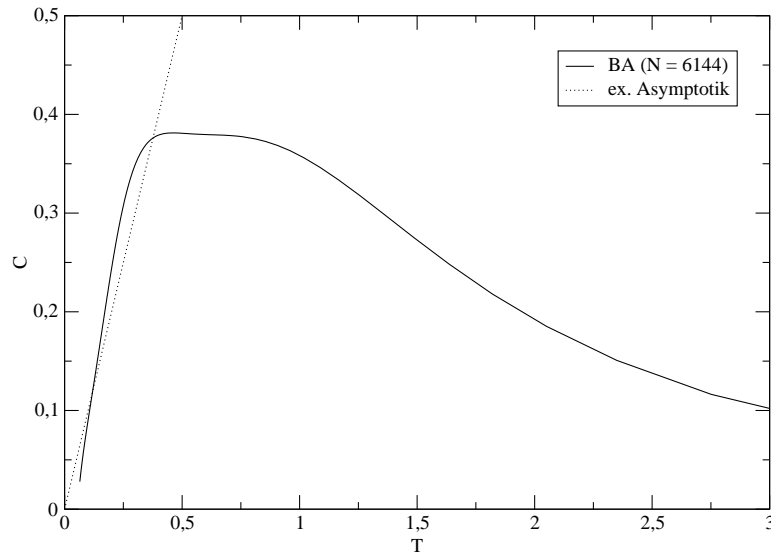
- Tieftemperaturverhalten bestimmt durch CFT:

$$f \simeq f_0 - \frac{\pi c}{6v} T^2 \quad \text{mit } c = 2, v = 2\pi/3, f_0 = 1 - \pi\sqrt{3}/9 - \ln(3) \approx -0.70321$$

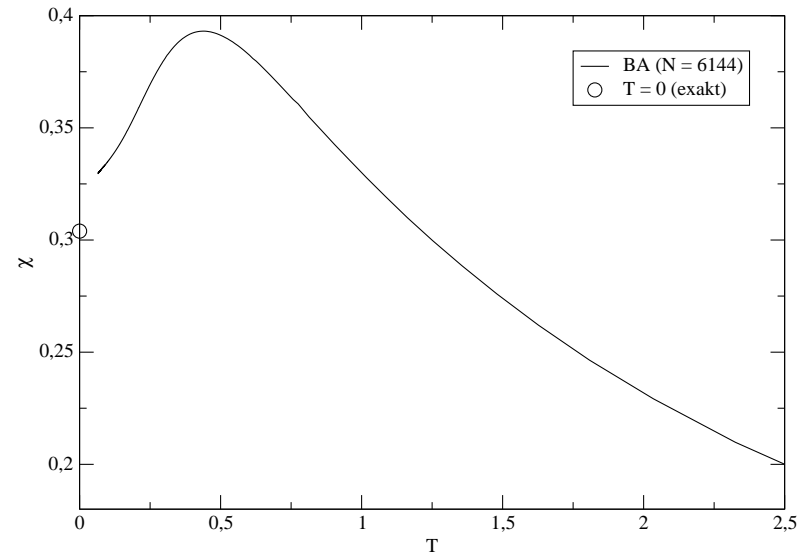
- Asymptotik der Entropie  $S \sim T$  für  $T \ll 1$ ;  $S \rightarrow \ln 3$  für  $T \rightarrow \infty$

# Thermodynamik

## SU(3)-Modell:



Wärmekapazität  $C$

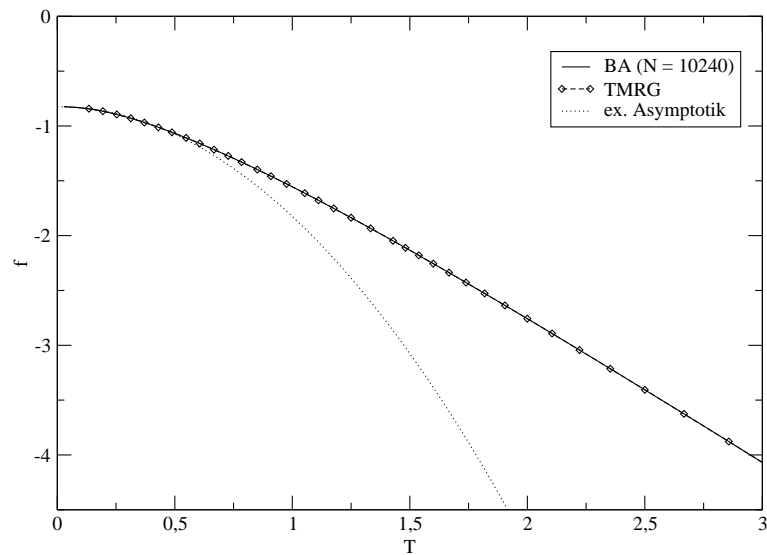


Spin-Suszeptibilität  $\chi_s$

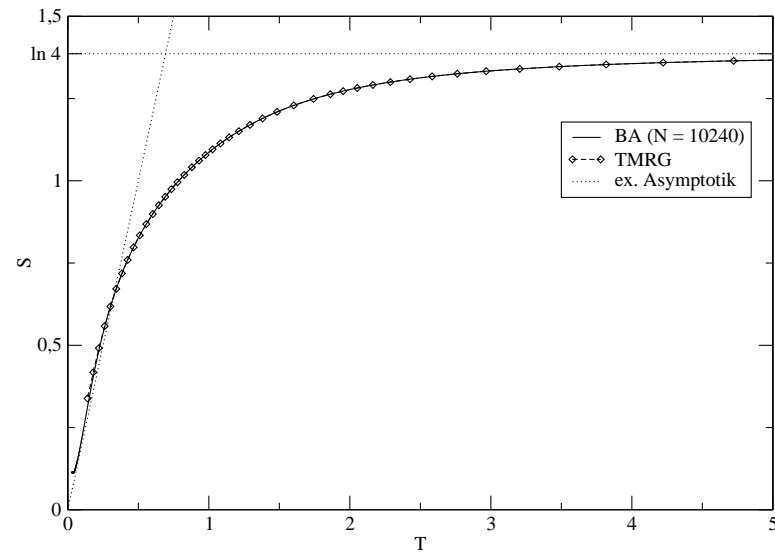
- Asymptotik der Wärmekapazität  $C \sim T$  für  $T \ll 1$
- Erwartete Spin-Suszeptibilität des Grundzustandes  $\xi_s(0) = 3/\pi^2$   
Aber: Abweichung für kleine  $T$  wegen Korrekturen mit  $\mathcal{O}(1/\log T)$
- Daten sind brauchbar bis  $T \gtrsim 0.1$  (Fehler durch endliches  $N$ )

# Thermodynamik

## SU(2) × SU(2)-Spin-Orbital-Modell:



Freie Energie  $f$



Entropie  $S$

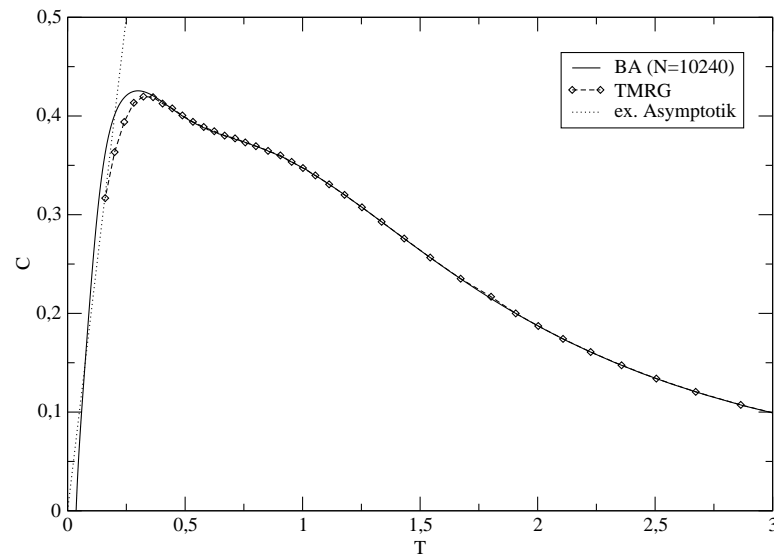
- Tieftemperaturverhalten bestimmt durch CFT:

$$f \simeq f_0 - \frac{\pi c}{6v} T^2 \quad \text{mit } c = 3, v = \pi/2, f_0 = 1 - \pi/4 - 3 \ln(2)/2 \approx -0.82512$$

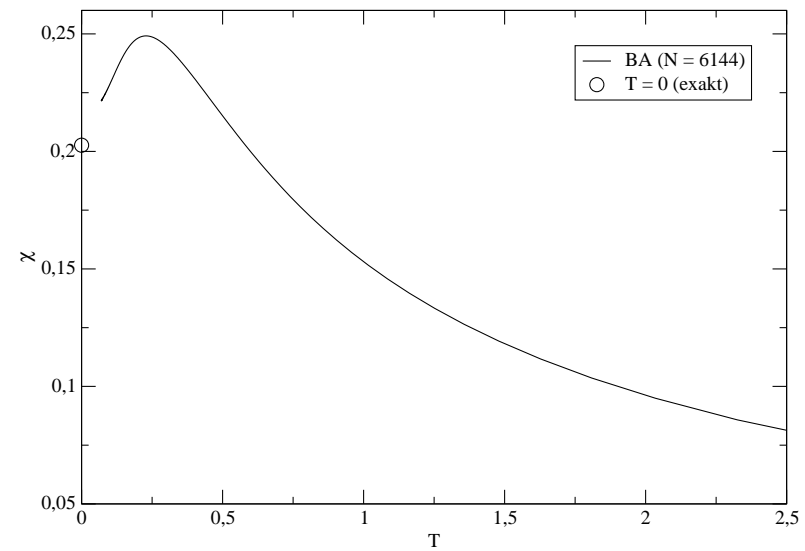
- Asymptotik der Entropie  $S \sim 2T$  für  $T \ll 1$ ;  $S \rightarrow \ln 4$  für  $T \rightarrow \infty$

# Thermodynamik

## SU(2) × SU(2)-Spin-Orbital-Modell:



Wärmekapazität  $C$

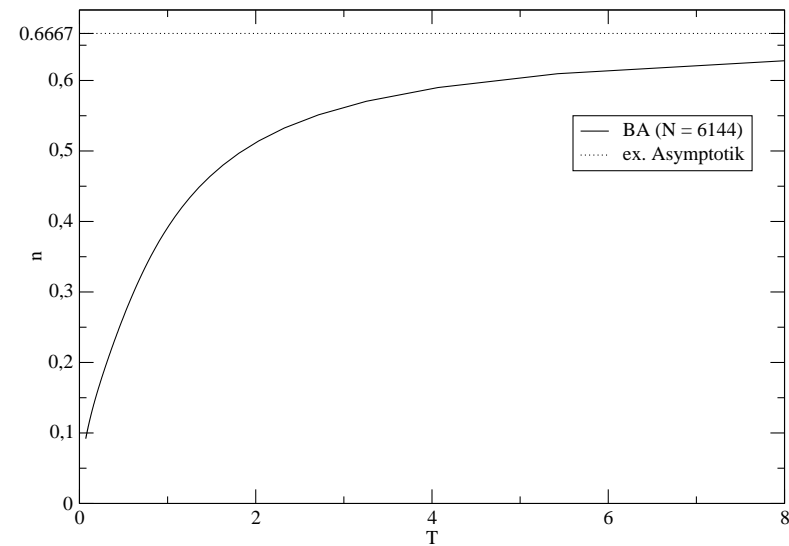
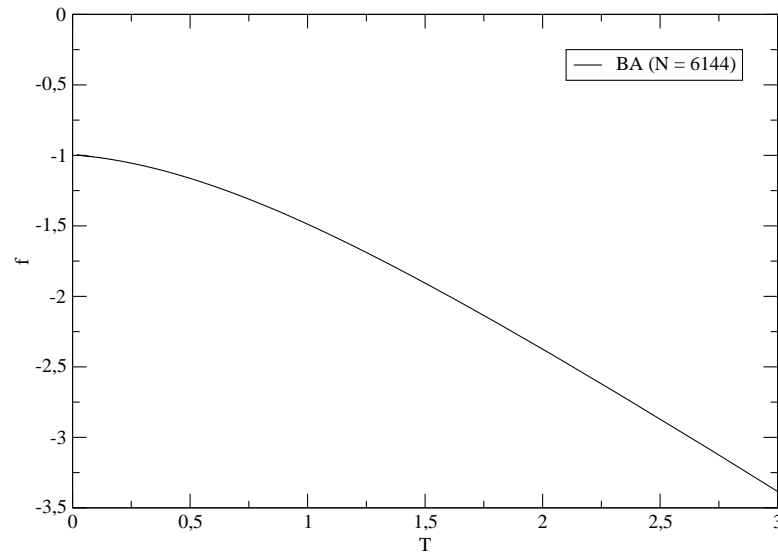


Spin-Suszeptibilität  $\chi_s$

- Asymptotik der Wärmekapazität  $C \sim 2T$  für  $T \ll 1$
- Erwartete Spin-Suszeptibilität des Grundzustandes  $\xi_s(0) = 2/\pi^2$
- Daten sind brauchbar bis  $T \gtrsim 0.05$
- Insgesamt hervorragende Übereinstimmung mit TMRG-Rechnungen (Sirker 03)

# Thermodynamik

## Supersymmetrisches t-J-Modell: ( $\mu = 0$ )



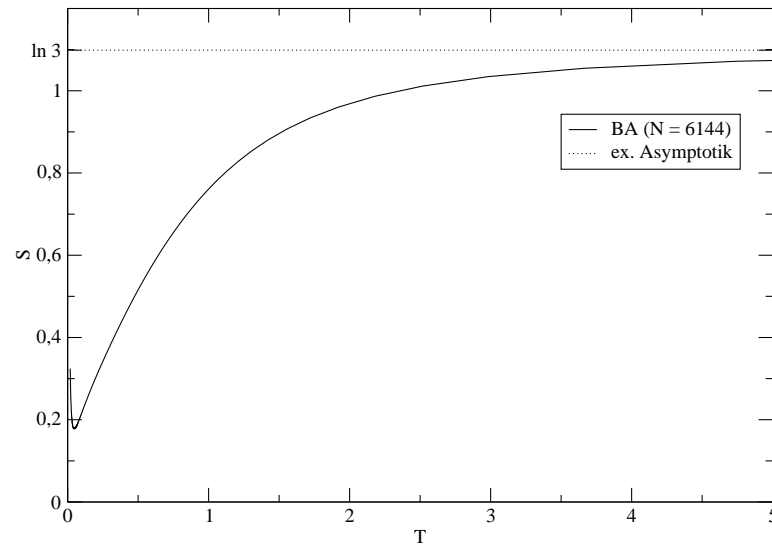
- Tieftemperaturverhalten bestimmt durch CFT:

$$f \simeq f_0 - \frac{\pi}{6} \left( \frac{c_s}{v_s} + \frac{c_c}{v_c} \right) T^2 \quad \text{mit } c_{s,c} = 1, v_{s,c} \simeq \pi n, f_0 = -1$$

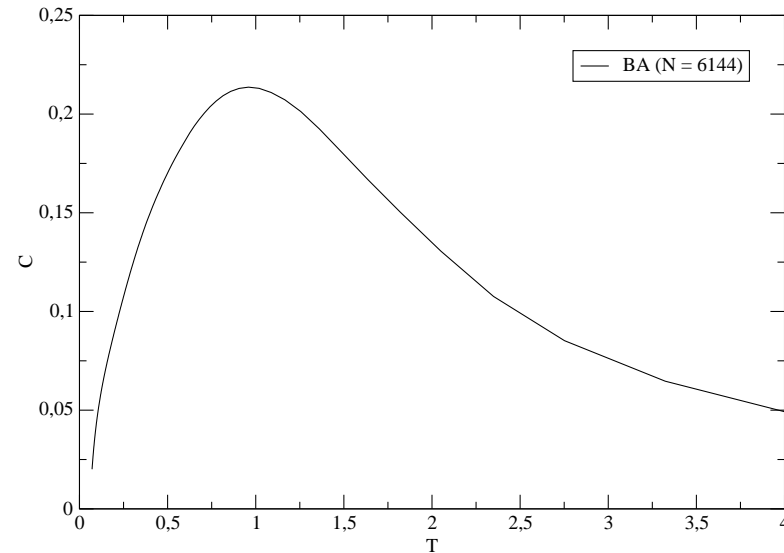
- Grundzustand rein bosonisch  $n(0) = 0$ ;  $n \rightarrow 2/3$  für  $T \rightarrow \infty$

# Thermodynamik

## Supersymmetrisches t-J-Modell: ( $\mu = 0$ )



Entropie  $S$

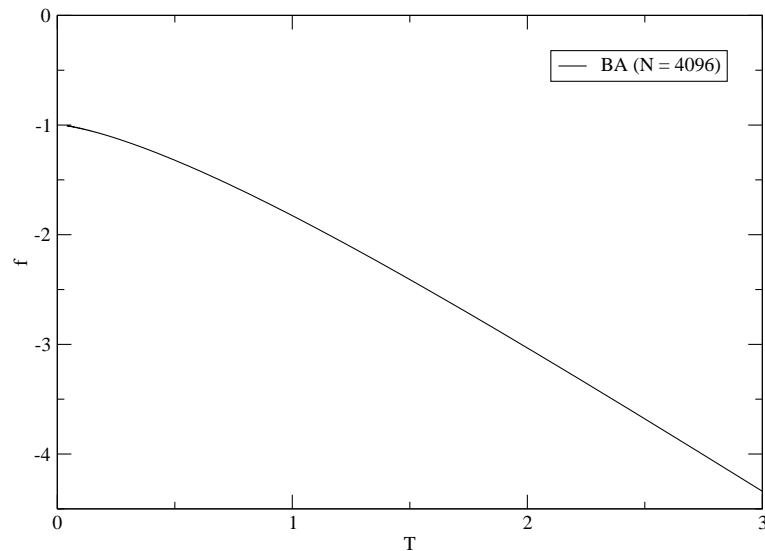


Wärmekapazität  $C$

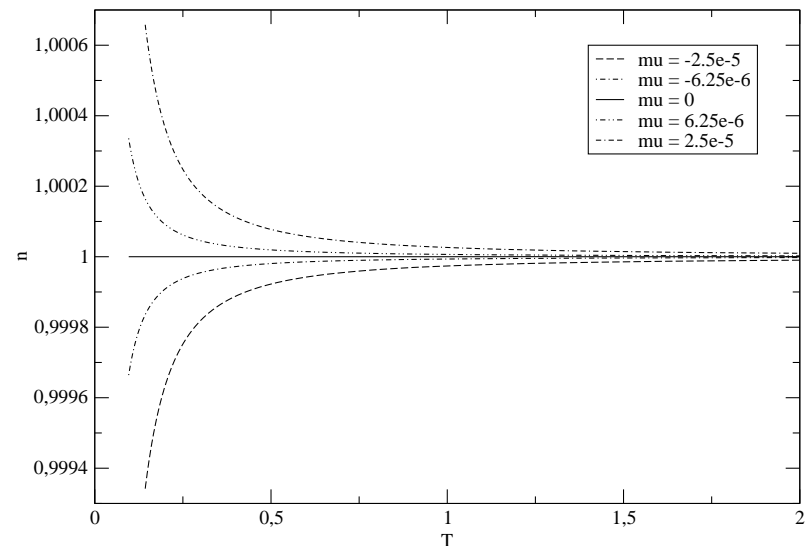
- Asymptotik der Entropie  $S \rightarrow \ln 3$  für  $T \rightarrow \infty$
- Anstieg der Entropie für kleine  $T$  unphysikalisch:  
Systematischer Fehler durch endliche Trotterzahl  $N$
- Daten sind brauchbar bis  $T \gtrsim 0.1$

# Thermodynamik

## Supersymmetrisches erweitertes Hubbard-Modell: ( $\mu = 0$ )



Freie Energie  $f$



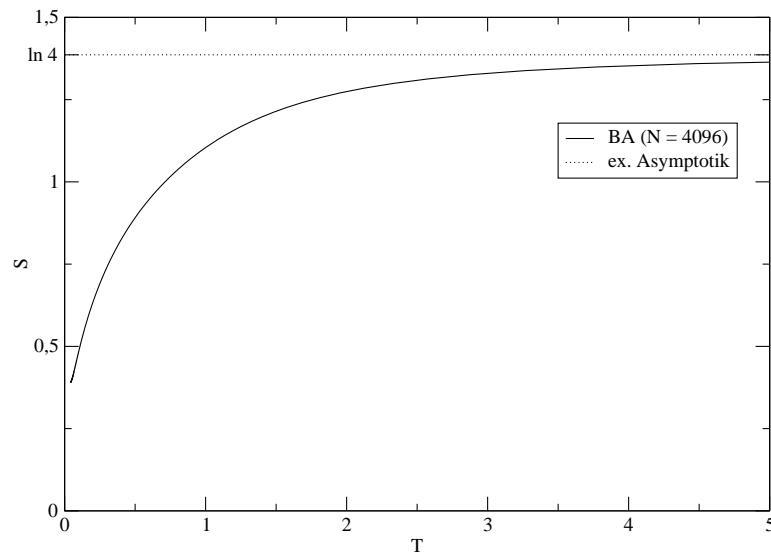
Teilchendichte  $n$

- Grundzustandsenergie stimmt mit der des t-J-Modelles überein  $f_0 = -1$ , rein bosonischer Grundzustand
- Aber:  $n(T) \equiv 1$  für  $\mu = 0 \Rightarrow$  zu gleichen Teilen Doppelbesetzung & leere Plätze
- Aus exakter Rechnung: Grundzustand  $\mu > 0$  nur Doppelbesetzung,  $\mu < 0$  nur leere Plätze

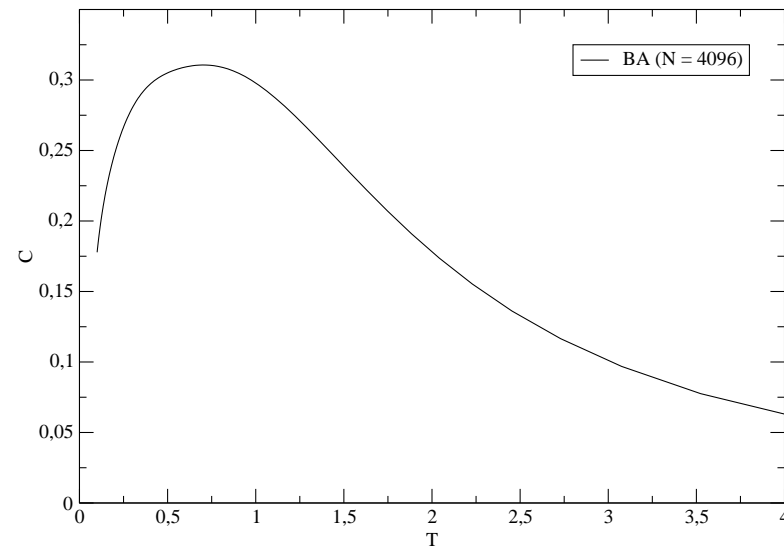


# Thermodynamik

## Supersymmetrisches erweitertes Hubbard-Modell: ( $\mu = 0$ )



Entropie  $S$



Wärmekapazität  $C$

- Asymptotik der Entropie  $S \rightarrow \ln 4$  für  $T \rightarrow \infty$
- Daten brauchbar bis  $T \gtrsim 0.12$

# Zusammenfassung

---

- Quanten-Transfermatrix-Zugang zu Uimin-Sutherland-Modell
- Numerische Lösung der Bethe-Ansatzgleichungen
- Freie Energie und abgeleitete Größen in Abhängigkeit von  $T$   
(Übereinstimmung mit bekannten Ergebnissen)
- Direkte Diagonalisierung der Quanten-Transfermatrix  
für kleine  $N$
- Bestimmung der Bethe-Ansatzzahlen zu bekannten  
Eigenwerten/-zuständen möglich (neu)

# Offene Fragen

---

- Vorzeichenprobleme bei graduierten Systemen?
- Bestimmung nächstführender Eigenwerte bei großem  $N$ ?  
→ Korrelationslängen
- Allgemeine Behandlung mit NLIE?  
→ analytischer Trotterlimes  
(bereits bekannt für  $SU(3)$ - und supersymm. t-J-Modell)

# Danke

---



A. Klümper

J. Sirker

A. Seel

M. Bortz

